

ПЛОСКАЯ ДЕФОРМАЦИЯ
ИДЕАЛЬНЫХ ЖЕСТКОПЛАСТИЧЕСКИХ ТЕЛ
С УЧЕТОМ ИЗМЕНЕНИЯ ГРАНИЦЫ

Г. И. БЫКОВЦЕВ, А. И. ХРОМОВ

(Куйбышев)

Методы решения задач теории плоской деформации идеально пластических сред хорошо изучены [1, 2], однако решений с учетом изменения формы границы тел в процессе деформации получено мало. Автомодельные задачи о внедрении клина в полупространство и раздавливании клина жестким плоским штампом получены в [3]. (В последней задаче известно решение только для углов раствора клина, больших 53.2° .) Оригинальный вариант решения такой задачи при наличии трения был предложен в [4]. Методом малого параметра вдавливание тонкого лезвия произвольной конфигурации рассматривалось в [5]. Приближенное решение, в котором выпучившаяся граница предполагалась всегда прямолинейной, рассмотрено в [6]. Если изменяющаяся свободная граница находится в пластическом состоянии, а краевая задача является кинематически определенной, то построение этой границы можно произвести в плоскости годографа [7], что и позволило авторам решить задачу о растяжении шейки в форме окружности.

Отметим, что в автомодельных решениях [3, 4] материал у свободной поверхности предполагался находящимся в пластическом состоянии условно, т. е. при построении статического решения. После построения кинематики оказывалось, что материал, прилегающий к свободной поверхности, движется как жесткое целое вдоль некоторой линии скольжения. В [8] рассмотрена задача о давлении плоского штампа на выпуклую заготовку в предположении, что у свободной поверхности материал находится в пластическом состоянии. При этом в области задачи Коши у свободной поверхности получается отрицательная диссипация энергии. Поэтому естественно предположить, что у свободной поверхности имеются области, движущиеся как жесткое целое, и в этих областях напряжения будут ниже предела текучести.

Эти предположения позволили развить метод решения определенного класса технологических задач с учетом изменения геометрии тела в процессе деформирования, в частности построить решение нестационарной задачи о раздавливании пирамиды плоским штампом, из которой как частный случай следует решение [3], а также новое автомодельное решение углов раствора клина, меньших 53.2° .

1. Рассмотрим задачу о внедрении клина углом раствора 2θ в выпуклую заготовку криволинейной формы (фиг. 1). В результате внедрения клина часть материала будет выдавлена и форма заготовки в процессе внедрения будет изменяться. Сетка линий скольжения, так же как и в решении, предложенном в [3], состоит из треугольников ABD и AEC , в которых оба семейства линий скольжения прямолинейные и централизованного веера ADE . Выше линии AC материал движется как жесткое целое; напряжения выше линии AC не должны превосходить предела текучести.

В каждый момент времени поле скоростей совпадает с соответствующим полем, построенным в [3], т. е. $V_\alpha = \sqrt{2} \sin \theta$, $V_\beta = 0$. Здесь V_α и V_β — проекции скорости на α и β линии (предполагается, что клин внедряется с единичной скоростью). В отличие от автомодельного решения [3] угол ψ не остается постоянным, а изменяется со временем по неизвестному заранее закону, и задача сводится к определению формы границы на участке AFC и положения точки A и C .

Если $\psi(t)$ — угол раствора веера в момент времени t , то точки криволинейной свободной границы AFC движутся со скоростями

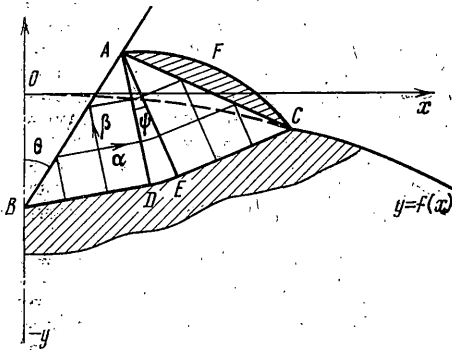
$$V_x = \sqrt{2} \sin \theta \cos \left(\frac{1}{4}\pi - \theta + \psi \right), \quad V_y = \sqrt{2} \sin \theta \sin \left(\frac{1}{4}\pi - \theta + \psi \right) \quad (1.1)$$

Уравнения свободной границы AFC получаются интегрированием соотношений (1.1)

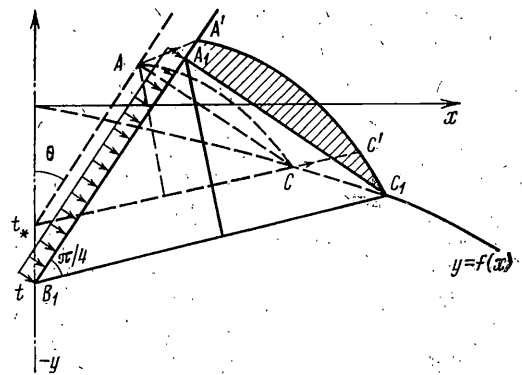
$$x(t, \tau) = \sqrt{2} \sin \theta \int_{\tau}^t \cos \left(\frac{\pi}{4} - \theta + \psi \right) dt + x_0(\tau) \quad (1.2)$$

$$y(t, \tau) = \sqrt{2} \sin \theta \int_{\tau}^t \sin \left(\frac{\pi}{4} - \theta + \psi \right) dt + y_0(\tau)$$

Здесь $x = x_0(\tau)$, $y = y_0(\tau)$ — параметрическое представление границы заготовки до деформации; $x = x(t, \tau)$, $y = y(t, \tau)$ — параметрические уравне-



Фиг. 1



Фиг. 2

ния деформированной части свободной поверхности AFC в момент времени t ; параметр τ выбран так, что τ совпадает с временем прихода точки C в точку $x_0(\tau)$, $y_0(\tau)$, т. е. с моментом начала движения. Тогда $x_0(t)$ и $y_0(t)$ — координаты точки C , а для координат точки $A(x_1, y_1)$ из условия $AB=AC$ получим

$$x_1 = \frac{x_0 \sin \theta}{\sin \theta + \cos(\theta - \psi)}, \quad y_1 = \frac{t \sin(\theta - \psi) + y_0 \cos \theta}{\cos \theta - \sin(\theta - \psi)} \quad (1.3)$$

Так как точка A лежит на клине, то $y_1 = \text{ctg } \theta x_1$; отсюда

$$(t + y_0) \cos(2\theta - \psi) + x_0 [\sin(2\theta - \psi) - 1] = 0 \quad (1.4)$$

Точка C лежит на недеформированной поверхности заготовки, поэтому $y_0(t) = f(x_0(t))$, где $y = f(x)$ — форма недеформированной поверхности заготовки.

Точка A лежит на недеформированной поверхности заготовки, поэтому из (1.2) и (1.3) следует

$$x_0 \frac{\sin \theta}{\sin \theta + \cos(\theta - \psi)} = \sqrt{2} \sin \theta \int_{\tau}^t \cos \left(\frac{\pi}{4} - \theta + \psi \right) dt + x(\tau) \quad (1.5)$$

$$\frac{t \sin(\theta - \psi) - y_0 \cos \theta}{\cos \theta - \sin(\theta - \psi)} = \sqrt{2} \sin \theta \int_{\tau_1}^t \sin \left(\frac{\pi}{4} - \theta + \psi \right) dt + y_0(\tau_1)$$

Здесь $\tau_1 = \tau_1(t)$ — время начала движения материальной точки, которая в момент времени t имеет координаты x_1, y_1 . Таким образом для определения функций $x_0(t), y_0(t), \psi(t)$ и $\tau_1(t)$ имеем четыре уравнения (1.4), (1.5). Эта система эквивалентна системе четырех дифференциальных уравнений с запаздывающим аргументом

$$\begin{aligned} y_0' - f_x(x_0)x_0' &= 0, \quad y_0' \cos(2\theta - \psi) + x_0' [\sin(2\theta - \psi) - 1] + \\ &+ \psi' [t \sin(2\theta - \psi) + y_0 \sin(2\theta - \psi) - x_0] = -\cos(2\theta - \psi) \\ x_0' \frac{\sin \theta}{\sin \theta + \cos(\theta - \psi)} - \psi' \frac{x_0 \sin \theta \sin(\theta - \psi)}{[\sin \theta + \cos(\theta - \psi)]^2} &= \\ = \sqrt{2} \sin \theta [\cos(\frac{1}{4}\pi - \theta - \psi(t)) - \cos(\frac{1}{4}\pi - \theta + \psi(\tau_1)) \tau_1'] + x_0' (\tau_1) \tau_1' & \quad (1.6) \\ y_0' \cos \theta + \sin(\theta - \psi) - t \cos(\theta - \psi) \psi' & \quad [t \sin(\theta - \psi) + y_0 \cos \theta] \cos(\theta - \psi) \psi' = \\ \cos \theta - \sin(\theta - \psi) & \quad [\cos \theta - \sin(\theta - \psi)]^2 = \\ = \sqrt{2} \sin \theta [\sin(\frac{1}{4}\pi - \theta + \psi(t)) - \sin(\frac{1}{4}\pi - \theta + \psi(\tau_1)) \tau_1'] + y_0' (\tau_1) \tau_1' & \end{aligned}$$

Из геометрических построений следует, что при $t=0$ имеем

$$\tau_1 = 0, \quad x_0 = 0, \quad y_0 = 0 \quad (1.7)$$

Рассмотрим систему (1.6) при $t=0$:

$$\begin{aligned} y_0' - f_x|_{t=0} x_0' &= 0, \quad y_0' \cos(2\theta - \psi_0) + x_0' [\sin(2\theta - \psi) - 1] = -\cos(2\theta - \psi_0) \\ x_0' \frac{\sin \theta}{\sin \theta + \cos(\theta - \psi_0)} + \tau_1' \{ \sin \theta [\cos(\theta - \psi_0) + \sin(\theta - \psi_0)] - x_0' \} &= \\ = \sin \theta [\cos(\theta - \psi) + \sin(\theta - \psi)] & \quad (1.8) \\ y_0' \frac{\cos \theta}{\cos \theta - \sin(\theta - \psi_0)} + \tau_1' \{ \sin \theta [\cos(\theta - \psi_0) - \sin(\theta - \psi_0)] - y_0' \} &= \\ = \sin \theta [\cos(\theta - \psi) - \sin(\theta - \psi)] - \frac{\sin(\theta - \psi_0)}{\cos(\theta - \psi_0)} & \end{aligned}$$

В системе (1.8) для определения трех неизвестных y_0', x_0', τ_1' имеем четыре уравнения. Условие совместности этой системы определяет начальное значение для функции $\psi(t)$. При $f_x'|_{t=0} = 0$ это условие совпадает с уравнением, связывающим углы ψ и θ при вдавливании клина в полупространство [3]:

$$\cos(2\theta - \psi_0) = \cos \psi_0 / (1 + \sin \psi_0) \quad (1.9)$$

Решение, полученное интегрированием системы (1.6) при начальных условиях (1.7) и (1.9), будет справедливо только при $\psi \geq 0$ и выпуклой линии AFC . Расчет напряженного состояния в пластической области производится аналогично [3]. Так как на линии AFC нагрузки отсутствуют, а в области AEC однородное напряженное состояние, то на линии AC имеем $n_x \sigma_x = 0$. Усилие, необходимое для внедрения клина, может быть рассчитано, согласно [3], по формуле $P = 4k(1 + \psi) BA \sin \theta$.

Так как недеформированная заготовка предполагается выпуклой, угол ψ в процессе деформации будет монотонно уменьшаться от ψ до 0.

Пусть в момент времени t_* угол $\psi=0$. Схема деформации при $t > t_*$ представлена на фиг. 2. Угол ψ сохраняет постоянное значение $\psi=0$ и все точки области $A'C'C_1B_1A_1$ двигаются в каждый момент времени t с одной и той же скоростью V , проекции которой на оси координат, согласно [3], равны

$$V_x = \sqrt{2} \sin \theta \cos (1/4\pi - \theta), \quad V_y = \sqrt{2} \sin \theta \sin (1/4\pi - \theta)$$

Поэтому уравнение подвижной границы $A'C'C_1$ можно записать в виде

$$Y(x, t) = F(x - \sqrt{2} \sin \theta \cos (1/4\pi - \theta) (t - t_*)) + \sqrt{2} \sin \theta \sin (1/4\pi - \theta) (t - t_*) \quad (1.10)$$

где $y=F(x)$ — уравнение некоторой линии, проходящей через точку C . Выше точки C линия $y=F(x)$ определена, так как в момент времени t_* она совпадает с деформированной границей AC . Форма кривой ниже точки C определяется процессом дальнейшей деформации.

Рассмотрим деформацию заготовки в окрестности точки C (фиг. 3). В результате вдавливания клина точка C недеформированной поверхности, движение которой началось в момент времени t , в момент времени $t + \Delta t$ займет положение C_1 , а дуга CC_1 перейдет в дугу $C'C_1$, причем $CC' = \sqrt{2} \sin \theta \Delta t$. Рассматривая бесконечно малый промежуток времени Δt , дуги CC_1 и $C'C_1$ можно считать прямолинейными. Из выполненных построений следует $\operatorname{tg} \varphi = CE/EC_1$ или

$$\operatorname{tg} \varphi = \frac{\operatorname{tg} \alpha + \sqrt{2} \sin \theta \sin (1/4\pi - \theta) [\operatorname{tg} (1/4\pi - \theta) + \operatorname{tg} \alpha]}{1 - \sqrt{2} \sin \theta \cos (1/4\pi - \theta) [\operatorname{tg} (1/4\pi - \theta) + \operatorname{tg} \alpha]} \quad (1.11)$$

При $\Delta t \rightarrow 0$ отрезок CC_1 займет положение касательной к недеформированной поверхности $y=f(x)$ в точке C , поэтому $\operatorname{tg} \alpha = -f'(x_c)$, а отрезок $C'C_1$ займет положение касательной к деформированной поверхности $y=Y(x, t)$ в точке C , поэтому

$$\operatorname{tg} \varphi = -\partial Y / \partial x = -\partial F / \partial x \quad \text{при } x = x_c, \quad t = t_c \quad (1.12)$$

Здесь t_c — время начала движения точки C . Точка C определяется пересечением линии BC , которая удовлетворяет уравнению $y = \operatorname{tg} (1/4\pi - \theta) x - t_c$, с недеформированной поверхностью $y=f(x)$; поэтому

$$\operatorname{tg} (1/4\pi - \theta) x_c - t_c = f(x_c) \quad (1.13)$$

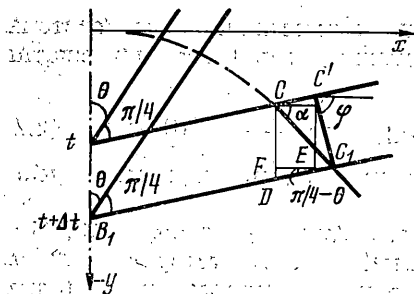
Подставляя значение $\operatorname{tg} \alpha$ и (1.12) в (1.11) и вводя новую переменную x , получим

$$\frac{\partial F}{\partial x} = \frac{f(x) - \sqrt{2} \sin \theta \sin (1/4\pi - \theta) [\operatorname{tg} (1/4\pi - \theta) - f'(x_c)]}{1 - \sqrt{2} \sin \theta \cos (1/4\pi - \theta) [\operatorname{tg} (1/4\pi - \theta) - f'(x_c)]} \quad (1.14)$$

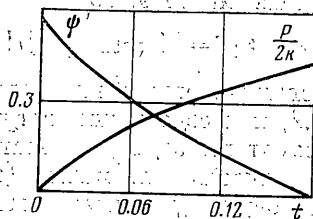
$$x = x_c - \sqrt{2} \sin \theta \cos (1/4\pi - \theta) (t_* - t_c)$$

Выполненная замена переменных эквивалентна обратному перемещению подвижной границы из положения $A'C'C_1$ (фиг. 2) в момент времени t в положение AC в момент времени t_* . Таким образом система уравнений (1.13) и (1.14) при условии $F(x_c) = y_c$ определяет ниже точки C некоторую проходящую через точку C кривую $y=F(x)$, которая, перемещаясь со скоростью $V = \sqrt{2} \sin \theta$ вдоль линии скольжения, образует деформированную границу.

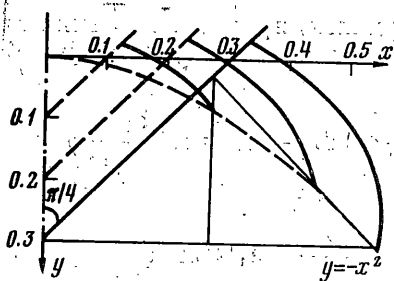
Необходимо отметить, что при $\psi=0$ материал в области $A_1A'C'C_1$ свободен от напряжений и не оказывает давления на клин на участке $A'A_1$.



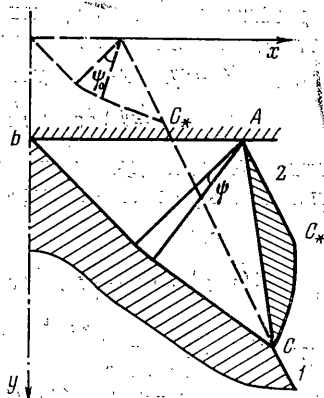
Фиг. 3



Фиг. 5



Фиг. 4



Фиг. 6

Расчет давления, необходимого для вдавливания клина, проводится в этом случае по формуле $P = 4k B_1 A_1 \sin \theta$.

На фиг. 4, 5 представлены процесс деформации параболического цилиндра $y = -x^2$ при вдавливании в него клина $y = ctg \alpha x$ при $\alpha = 45^\circ$ и графики зависимостей угла $\psi = \psi(t)$ и усилия, необходимого для вдавливания клина $P(t)$. Система уравнений (1.6) решалась численным методом. Деформация при $\psi = 0$ начинается с момента $t_* = 0.18$. Уравнение образующейся при этом деформированной границы можно получить из системы (1.13), (1.14) в виде

$$F(x) = x + \frac{1}{2} \sqrt{1 + 4t_* + 4x} + \ln |2 - \sqrt{1 + 4t_* + 4x}| + C$$

2. Рассмотрим задачу о сжатии вышуклой заготовки гладким плоским штампом. Эта задача является частным случаем предыдущей задачи при $\theta = \pi/4$. Уравнения (1.3) запишутся в виде $x_0 = x_1(1 + \sin \psi)$, $y_0 = y_1 - x_1 \cos \psi$. или, так как $y_1 = -t$, то $y_0 = -t - x_0 \cos \psi / (1 + \sin \psi)$.

Система уравнений (1.4), (1.5) преобразуется к виду

$$-(t + y_0) \cos \psi + x_0 (\sin \psi - 1) = 0, \quad y_0'(t) = f(x_0(t))$$

$$x_0 = (1 + \sin \psi) \left[\sqrt{2} \int \cos \left(\psi - \frac{\pi}{4} \right) dt + x_0(\tau_1) \right] \quad (2.1)$$

$$t + \sqrt{2} \int \sin \left(\psi - \frac{\pi}{4} \right) dt + y_0(\tau_1) = 0$$

Аналогично предыдущей задаче условие совместности этой системы при $t=0$ совпадает с уравнением, связывающим углы θ и ψ при сжатии клина плоским штампом

$$\operatorname{tg} \theta = [(1 + \sin \psi)^2] / [\cos (2 + \sin \psi)], \quad \operatorname{tg} \theta = -1/f'(0) \quad (2.2)$$

Численная реализация решения уравнений (2.1) при начальном условии (2.2) не представляет затруднений.

Рассмотрим задачу о сжатии усеченного клина $y=ax+b$, $a < 0$, $b > 0$ гладким плоским штампом (фиг. 6), прямая 1 соответствует $y=ax+b$. В этом случае движение материала заготовки начинается не из точки, а пластическое состояние возникает сразу в конечной области. При этом часть подвижной границы, которая в начальный момент времени приходит в движение, в последующем поступательно перемещается. Проекции скорости на линии скольжения вычисляются из соотношений Гейрингер [3], откуда $V_x = \sqrt{2}$, $V_y = 0$; для проекций скорости на оси координат имеем

$$V_x = \sqrt{2} \cos (\frac{1}{4}\pi - \psi), \quad V_y = \sqrt{2} \sin (\frac{1}{4}\pi - \psi)$$

Таким образом для подвижной границы, пришедшей в движение в начальный момент времени, получим уравнение (кривая 2 на фиг. 6)

$$Y(x, t) = a \left(x - \sqrt{2} \int_0^t \cos \left(\frac{\pi}{4} - \psi \right) dt \right) - \sqrt{2} \int_0^t \sin \left(\frac{\pi}{4} - \psi \right) dt \quad (2.3)$$

Так как $OA=AC$, то

$$x_0 = -x_1(t) + x_1(t) \sin \psi, \quad y_0 = -t - x_1(t) \cos \psi \quad (2.4)$$

Точка A является пересечением линии (2.3) с плоскостью штампа, откуда для x_1 получаем уравнение

$$a \left(x_1(t) - \sqrt{2} \int_0^t \cos \left(\frac{\pi}{4} - \psi \right) dt \right) - \sqrt{2} \int_0^t \sin \left(\frac{\pi}{4} - \psi \right) dt = -t \quad (2.5)$$

Так как точка C принадлежит недеформированной поверхности заготовки, то $y_0 = f(x_0)$; отсюда будем иметь

$$-t - x_1(t) \cos \psi = a(x_1(t) \sin \psi) + b \quad (2.6)$$

$$x_1 = (-t - b) / (a + a \sin \psi + \cos \psi) \quad (2.7)$$

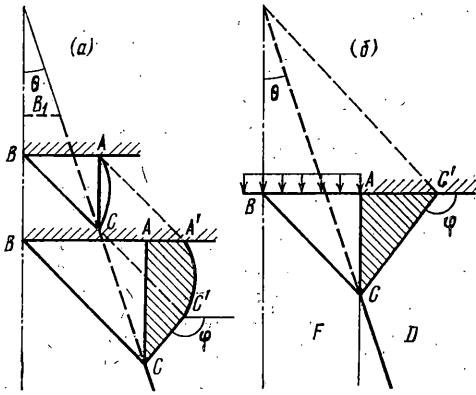
Из (2.5) следует

$$x_1(t) = -\frac{t}{a} + \frac{\sqrt{2}}{a} \int_0^t \sin \left(\frac{\pi}{4} - \psi \right) dt + \sqrt{2} \int_0^t \cos \left(\frac{\pi}{4} - \psi \right) dt - \frac{b}{a} \quad (2.8)$$

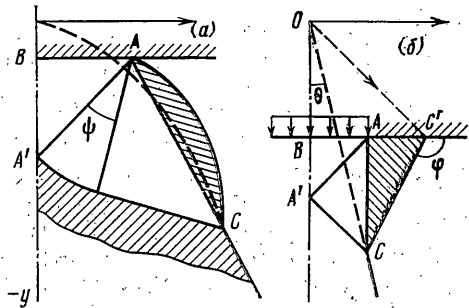
Подставляя (2.8) в (2.7) и дифференцируя по t , получим уравнение для определения функции $\psi(t)$ в виде

$$\frac{1}{t+b} = \frac{(a^2 \cos \psi - a \sin \psi) \psi'}{(a + a \sin \psi + \cos \psi)^2 [\cos \psi - \sin \psi + a (\sin \psi - \cos \psi) - 1] + a(a + a \sin \psi + \cos \psi)} \quad (2.9)$$

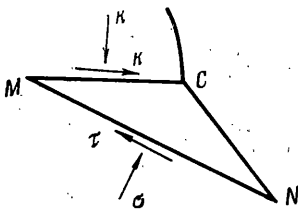
Решение уравнения (2.9) не представляет затруднений. По известной функции $\psi(t)$ вновь образующая подвижная граница C^*C может быть определена из уравнений (1.2) при $\theta = \frac{1}{2}\pi$. Полученное



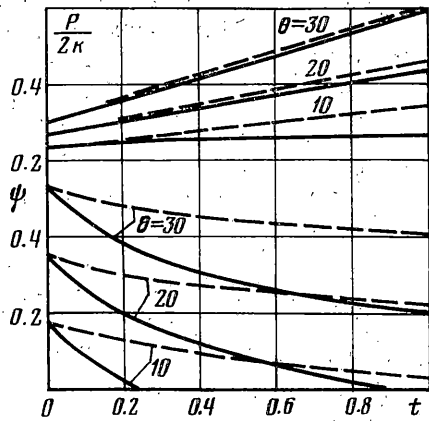
Фиг. 7



Фиг. 9



Фиг. 8



Фиг. 10

решение будет справедливо только в начальный период $\psi \geq 0$, когда граница заготовок под штампом определяется уравнением (2.3). Дальнейшее построение решения может быть осуществлено методом, развитым выше при решении задачи о вдавливании клина в выпуклую заготовку.

На фиг. 7 представлена схема пластического течения при $\psi = 0$. Из системы уравнений (1.13) и (1.14) следует, что прямолинейная недеформированная граница будет преобразовываться в прямолинейную подвижную границу $C'C$. При этом углы θ и φ связаны соотношением $\text{tg } \varphi = 1/(2 - \text{ctg } \theta)$.

Заметим, что криволинейный участок подвижной границы $A'C'$ в процессе деформирования при $\psi = 0$ не изменяется и определяется величиной начальной площадки под штампом B_1 , величина же прямолинейного участка $C'C$ постоянно увеличивается. Это позволяет построить автомодельное решение задачи о сжатии клина гладким плоским штампом при углах $\theta < 26.6^\circ$, которое можно рассматривать как предельное решение задачи о сжатии усеченного клина при $B_1 \rightarrow 0$ (фиг. 7, б).

Так как вдоль линии AC касательные напряжения отсутствуют, то жесткая область $AC'C$ в каждый момент времени t движется вдоль плоскости штампа, не оказывая на него давления. Давление на штамп рассчитывается при этом по формуле $P = 4kVA = 4kt/(\text{ctg } \theta - 1)$.

Построенное автомодельное решение в каждый момент времени t является полным, так как оно является кинематически возможным и существует статически допустимое продолжение поля напряжений в жесткие

области. Например, в областях $AC'C$ и $FCД$ $\sigma_{ij}=0$, в области ниже линии BC $\sigma_1=0$, $\sigma_2=-2k$.

Отметим, что во всех решениях точка C является особой, поэтому краевые условия в этой точке требуют дополнительных пояснений. Линией скольжения в точке C может подходить к свободной границе, вообще говоря, под любым углом и необходимо только найти продолжения поля напряжений в жесткие зоны, такие, чтобы с обеих сторон точки C граница была свободна от напряжений.

Выше точки C во всех решениях $\sigma_{ij}=0$ и прямая AC является линией разрыва напряжений. Покажем, что ниже точки C невозможно построить статически допустимое продолжение в тех случаях, когда $\alpha < \pi/4$ (фиг. 8). Рассмотрим равновесие треугольника NMC ; пусть на MN среднее касательное напряжение τ . Проектируя все действующие силы на NM , получим $\tau = k(\cos \varphi + \sin \varphi)(\cos \varphi + \operatorname{ctg} \alpha \sin \varphi)$.

При $\varphi=0$ имеем $\tau=k$, $d\tau/d\varphi = k(1 + \operatorname{ctg} \alpha)$. При $\alpha = \pi/4$ получаем $\tau = k(\cos^2 \varphi - \sin^2 \varphi) \leq k$.

При $\alpha < \pi/4$ находим, что при $\varphi=0$ производная $d\tau/d\varphi > 0$, а, следовательно, при $\varphi=0$ напряжение $\tau > k$. Таким образом при $\alpha < \pi/4$ статически допустимого продолжения в жесткую зону не существует, и все построенные решения будут верны до тех пор, пока продолжение линии AC будет находиться внутри заготовки. При $\alpha > \pi/4$ в области ниже линии $ВДЕС$ (фиг. 1) продолжение поля напряжений можно построить методом, предложенным в [9].

В задаче о сжатии выпуклой заготовки плоским штампом возможно другое кинематически возможное решение (фиг. 9, а). Здесь материал в области $A'AB$ движется как жесткое целое вместе со штампом. Аналогичные построения могут быть выполнены и в задаче о сжатии усеченного клина. При этом получается другое автомодельное решение для углов $\theta < 18.6^\circ$ (фиг. 9, б). Здесь углы θ и φ связаны соотношением $\operatorname{tg} \varphi = 1/(3 - \operatorname{ctg} \theta)$.

Давление на штамп определяется по формуле $P = 2kBA = 2kt/(\operatorname{ctg} \theta - 2)$. Во всех трех задачах это решение дает в каждый момент времени t более высокие значения давления P . Данное автомодельное решение также является полным.

На фиг. 10 представлены графики зависимостей угла $\psi(t)$ и давления на штамп $P/2k$ при сжатии усеченного клина для различных углов θ . Непрерывная линия соответствует течению по схеме фиг. 7, а, пунктирная — по схеме фиг. 8.

Поступила 23 I 1978

ЛИТЕРАТУРА

1. Соколовский В. В. Теория пластичности. М., «Высшая школа», 1969.
2. Ивлев Д. Д. Теория идеальной пластичности. М., «Наука», 1966.
3. Хилл Р. Математическая теория пластичности. М., Гостехиздат, 1956.
4. Mises, R. Three remarks on the theory of the ideal plastic body. In: Reissner Anniversary volume, Michigan, Ann Arbor, 1949.
5. Ивлев Д. Д. Вдавливание тонкого лезвия в пластическую среду. Изв. АН СССР. ОТН, 1957, № 10.
6. Быковцев Е. И., Ивлев Д. Д. Об определении предельной нагрузки тел, вдавливаемых в пластическую среду. Изв. АН СССР. ОТН. Механика и машиностроение, 1961, № 1.
7. Дудукаленко В. В., Мяснянкин Ю. М. Об определении изменяющейся границы тела при плоском пластическом деформировании. В сб.: Научн. тр. фак. прикл. матем. и механ. Воронежск. ун-та, 1971, вып. 2.
8. Григорьев О. Д. Об ограничении, накладываемом условием положительности расщепления на краевые условия при плоской деформации жесткопластического тела. ПММ, 1977, т. 41, вып. 1.
9. Bishop J. F. W. On the complete solution to problems of deformation of a plastic-rigid material. J. Mech. and Phys. Solids, 1953, vol. 2, No. 1.